



PERÚ

Ministerio
del Ambiente

Servicio Nacional de
Meteorología e Hidrología
del Perú - SENAMHI

SUBDIRECCION DE
PREDICCIÓN CLIMÁTICA



"Decenio de la Igualdad de Oportunidades para Mujeres y Hombres"
"Año de la recuperación y consolidación de la economía peruana"

INFORME TÉCNICO SENAMHI-ENFEN N°01-2025 ENERO 2025 Y CONDICIONES ACTUALES DE FEBRERO

Componente Atmosférica: Monitoreo de Condiciones El Niño y Pronóstico Subestacional RESUMEN

El Índice Oceánico Niño (ONI) centrado en diciembre de 2024, reportó un valor de $-0.5\text{ }^{\circ}\text{C}$ en la categoría fría débil, manteniendo valores negativos desde agosto 2024. Además, para el mes de enero 2025 el promedio mensual de la anomalía de la TSM de la región 3.4 fue de $-0.77\text{ }^{\circ}\text{C}$ persistiendo en las condiciones frías (fuente ERSSTv5¹); sin embargo, desde fines de enero 2025 hasta lo que va de febrero 2025 se vienen normalizando los valores de TSM, ya que el último valor semanal del OISSTv2.1 (actualizado al 12 de febrero) fue de $-0.3\text{ }^{\circ}\text{C}$ dentro de la categoría neutra.

Respecto al el Pacífico oriental (región Niño 1+2) El ICEN centrado en diciembre alcanzó el valor de $-0.11\text{ }^{\circ}\text{C}$ en la condición neutra. En enero de 2024 se reportó una anomalía de TSM de $-0.35\text{ }^{\circ}\text{C}$ (según el ERSSTv5²) con una breve tendencia a una disminución de anomalías de TSM en la región 1+2; Sin embargo esta cambio rápidamente, ya que a inicios de febrero se incrementaron las anomalías de TSM en la región 1+2 (fuente OISSTv2.1³), donde a nivel semanal el modelo OISSTv2.1 (actualizado al 12 de febrero) reportó un valor de $+0.9\text{ }^{\circ}\text{C}$ en la región Niño 1+2.

Durante enero 2025, la circulación de Walker mostró, en promedio, una subsidencia en el Pacífico Central y parte del Occidental, lo que estuvo asociado a las condiciones La Niña que se dieron en el mes. Este patrón persistió en febrero 2025 a pesar de que la TSM en el Pacífico Central muestra una tendencia a condiciones neutras. Además, en la Amazonía sudamericana y parte del Pacífico Oriental se vienen desarrollando patrones convectivos que han favorecido superávits de lluvias en parte de la selva y sierra norte.

El Anticiclón del Pacífico Sur (APS) presentó, en promedio durante enero, una configuración zonal, ubicado al este de su posición climática habitual. La ubicación del APS favoreció la intensificación de vientos alisios y la persistencia de anomalías de TSM negativas en la costa peruana. Por el contrario en lo que va de febrero 2025 se tuvieron episodios de debilitamiento del APS que propiciaron incrementos de las anomalías de TSM y favorecieron lluvias en la vertiente occidental de la sierra central y principalmente la sur.

Los valores de velocidad potencial divergentes predominaron a inicios y mediados de febrero 2025, lo que sumado a un calentamiento de la TSM en la costa peruana favorecieron superávits de lluvias en la sierra central y sur occidental.

¹ ERSSTv5 data TSM Mensual: <https://www.cpc.ncep.noaa.gov/data/indices/ersst5.nino.mth.91-20.ascii>

² ERSSTv5 data TSM Mensual: <https://www.cpc.ncep.noaa.gov/data/indices/ersst5.nino.mth.91-20.ascii>

³ OISST data TSM Semanal: <https://www.cpc.ncep.noaa.gov/data/indices/wksst9120.for>

"Decenio de la Igualdad de Oportunidades para Mujeres y Hombres"
"Año de la recuperación y consolidación de la economía peruana"

1. TEMPERATURA SUPERFICIAL DEL MAR EN EL PACÍFICO ORIENTAL

Durante enero de 2025, a nivel mensual, se presentaron anomalías de TSM negativas, en la región Niño 1+2, y áreas de la costa central - sur del Perú reportando una anomalía de -0.35 °C (fuente ERSSTv5⁴). Además, desde la 1ra década de febrero 2025 se observó un incremento de anomalías de TSM en la región Niño 1+2 (ver **Figura 1**), principalmente frente a la costa norte del Perú y Ecuador. Esto se evidenció con lo reportado por el modelo OISSTv2.1⁵, ya que a nivel semanal (al 12 de febrero) se registró una anomalía de $+0.9\text{ °C}$, evidenciando ese incremento. Este comportamiento de las anomalías de TSM en la zona Niño 1+2 principalmente se debió a un debilitamiento de vientos alisios asociado a la configuración del APS (zonal y al suroeste de su posición climática) y el arribo de la fase divergente de la MJO que podría haber favorecido una ligera inversión de alisios (ver **Figuras 1, 5 y 8**).

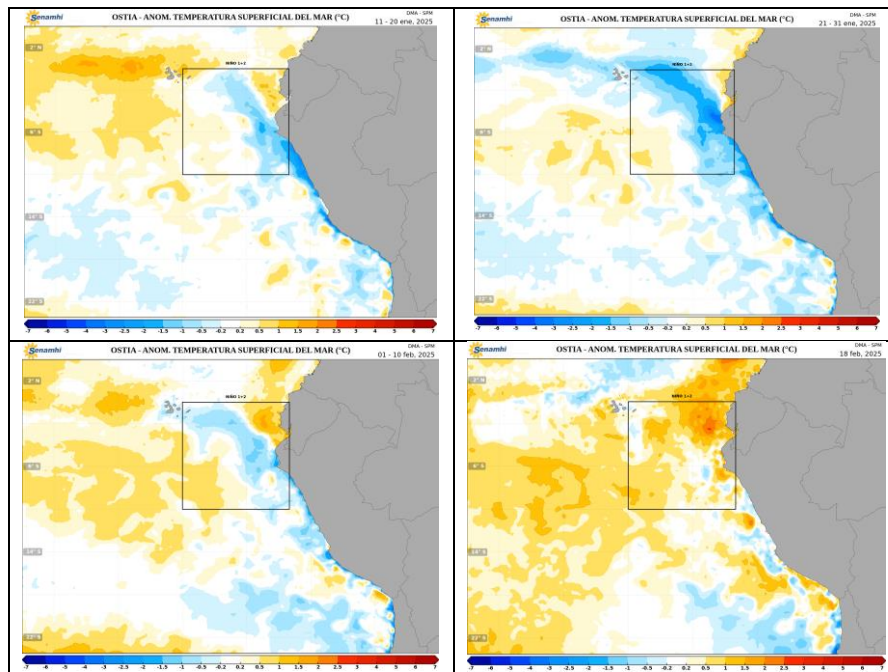


Figura 1. Promedios decadales de la anomalía de la temperatura superficial del mar (TSM) en el Pacífico Oriental del 11 de enero 2025 al 10 de febrero de 2025 (1a, 1b y 1c). Anomalía de la temperatura superficial del mar (TSM) diaria en el Pacífico Oriental (1d). Climatología 1981-2011. Fuente satelital: OSTIA. Procesamiento: SPM-SENAMHI.

2. ÍNDICES ENSO

Los índices de monitoreo del Pacífico ecuatorial como el SOI y EQSOI, en enero 2025, registraron valores de $+0.2$ y $+1.8$ respectivamente; El EQSOI persistió en la tendencia hacia valores positivos por 10 meses consecutivos, después de haber registrado

⁴ ERSSTv5 data TSM Mensual: <https://www.cpc.ncep.noaa.gov/data/indices/ersst5.nino.mth.91-20.ascii>

⁵ OISSTv2.1 data TSM Semanal: <https://www.cpc.ncep.noaa.gov/data/indices/wksst9120.for>



"Decenio de la Igualdad de Oportunidades para Mujeres y Hombres"
"Año de la recuperación y consolidación de la economía peruana"

condiciones negativas por undécimo mes consecutivo (en el evento ENSO), mientras que el SOI muestra ya 4 meses consecutivos con valores positivos (ver **Figura 2**). La persistencia de valores positivos en el EQSOI y SOI sugeriría una tendencia hacia la consolidación de condiciones negativas de las anomalías de TSM en el Pacífico Central, sin embargo, desde febrero 2025 se han incrementado las anomalías de TSM hasta situarse en su rango neutro. Por otro lado, se registra por catorce meses consecutivos un valor positivo del índice TWI con +1.8 evidenciando la persistencia de alisios intensificados. Además, el OLR mantuvo valores positivos (+1.7 en enero), reflejando indirectamente una menor cobertura nubosa y condiciones más secas de lo normal que se han estado presentando debido a la subsidencia en el Pacífico Central (ver **Figura 2 y 3**).

Respecto a las anomalías de TSM en el Pacífico Central, el último valor del ONI centrado en diciembre alcanzó el valor de -0.5°C^6 , registrando por quinta vez condiciones negativas en el año. Además, la anomalía mensual de enero 2025 según el ERSSTv5³ reportó un valor de -0.77°C y, a nivel semanal, el modelo OISSTv2.1 (al 12 de febrero 2025) indicó una anomalía de -0.3°C cambiando la tendencia del enfriamiento en la región 3.4 hacia valores dentro de la condición neutra, asociado a la disminución de la extensión de las anomalías de vientos del este en el Pacífico Central, más confinadas hacia el Pacífico Occidental que se han presentado entre mediados de enero a fines de febrero del 2025 (ver **Figura 2 y 9**).

⁶ ONI: https://origin.cpc.ncep.noaa.gov/products/analysis_monitoring/ensostuff/ONI_v5.php

"Decenio de la Igualdad de Oportunidades para Mujeres y Hombres"
"Año de la recuperación y consolidación de la economía peruana"

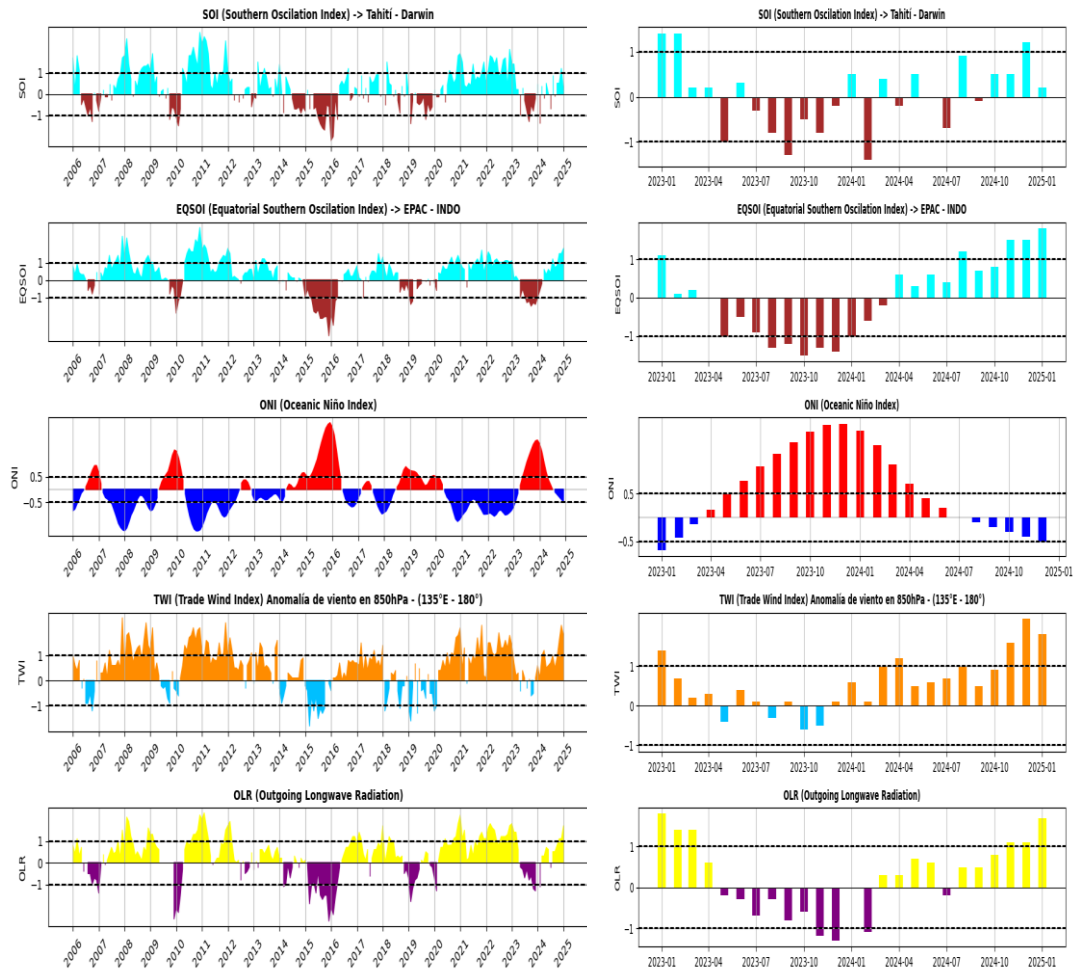


Figura 2. Índices mensuales ENSO (El Niño Southern Oscillation) desde enero de 2006 hasta enero de 2025 (izq.) y enero del 2023 a enero del 2025 (der.) con media móvil de 3 meses.

Procesamiento: SPC/SENAMHI.

3. CIRCULACIÓN ECUATORIAL

En promedio para enero 2025, se observaron valores de presión atmosférica mayores a sus registros climáticos en el Pacífico Central Ecuatorial y parte del Pacífico Occidental Ecuatorial, que favorecieron las condiciones subsidentes (sumado a las condiciones de mar frío) entre $130^{\circ}\text{E} - 180^{\circ}$, mientras que hacia el Océano Índico ($60^{\circ}\text{E} - 110^{\circ}\text{E}$) se presentó una ligera convección intensificada (ver **Figura 3c y 3d izquierda**). En febrero 2025 la subsidencia persistió en el Pacífico Central, Occidental y se extendió hacia parte del Océano Índico, mientras que en parte del Pacífico Oriental (90°W), y la amazonía (60°W) se desarrolló una convección intensificada (en promedio) lo que podría haber favorecido lluvias episódicas en la selva norte y sur del Perú (Loreto y Madre de Dios, ver **Figura 3c, 3d y 15 derecha**).

En niveles bajos de la tropósfera (850 hPa), para el mes de enero y lo que va de febrero 2025 se observaron en el Pacífico Central Ecuatorial y parte del Pacífico Occidental

"Decenio de la Igualdad de Oportunidades para Mujeres y Hombres"
"Año de la recuperación y consolidación de la economía peruana"

Ecuatorial, en promedio, anomalías de vientos del este entre los 150°E – 150°W y 10°N-10°S que podrían haber favorecido la permanencia de anomalías negativas en el Pacífico central (ver **Figura 3b derecha e izquierda**). Respecto a Sudamérica, frente a Ecuador y la costa norte de Perú se observaron anomalías de vientos del oeste, principalmente en febrero 2025 que podrían haber estado asociados al debilitamiento episódico del APS y propiciado el incremento de la TSM en la región Niño 1+2 (ver **Figura 3b derecha y 5**).

En niveles altos de la tropósfera (200 hPa) en enero, se observaron anomalías de vientos del este entre 10°N - 10°S y 90°W - 30°W, mientras que, en lo que va de febrero este patrón cambio a anomalías de vientos del oeste pero mas relegados hacia la zona ecuatorial (5°N – 5°S y 120°W – 60°W). Estos patrones podrían haber influenciado sobre la advección de humedad principalmente en la región norte de Sudamérica (ver **Figura 3a derecha e izquierda**).

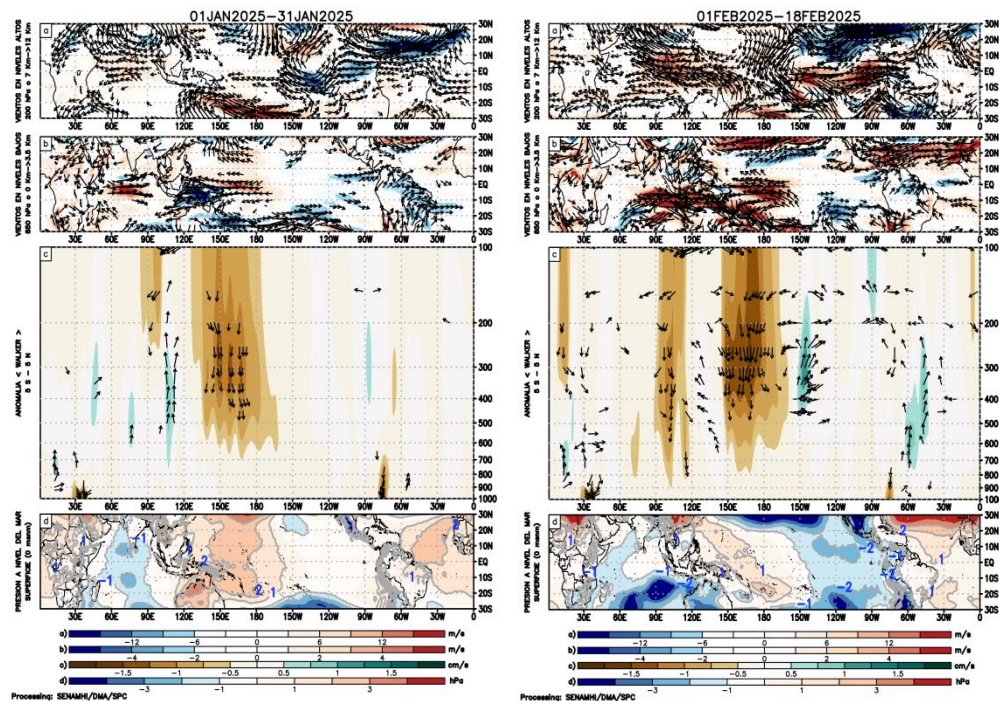


Figura 3. Análisis de la circulación atmosférica (Walker) para enero de 2024 (izq.) y del 1 al 18 de febrero 2025 (der.), (a) Anomalías de los vientos (colores) y su dirección (flechas) en niveles altos (200 hPa) y (b) bajos (850 hPa) de la atmósfera; c) Patrón anómalo de la circulación atmosférica ecuatorial (Walker), (d) Anomalías de presión a nivel del mar. Fuente: GFS. Procesamiento: SPC/SENAMHI.

4. CIRCULACIÓN EN SUPERFICIE

En enero de 2024, el Anticiclón del Pacífico Sur (APS) presentó, en promedio, una configuración zonal, desplazado levemente al este de su posición climática. Su centro se ubicó en aproximadamente 32°S – 90°W, con un valor de 1021 hPa en el núcleo. Además, se registraron anomalías de presión ligeramente negativas, del orden de -1 hPa en su núcleo (ver **Figura 4**). Respecto a la variabilidad semanal, del 24 al 30 de enero y del 31 de enero al 6 de febrero, el Anticiclón del Pacífico Sur se posicionó entre los 30°S - 40°S y 90°W - 120°W, con una configuración muy zonal, lo que generó una tendencia

"Decenio de la Igualdad de Oportunidades para Mujeres y Hombres"
"Año de la recuperación y consolidación de la economía peruana"

hacia la disminución de la magnitud de alisios costeros, principalmente en la costa sur (ver **Figuras 5 y 6**). Posteriormente, del 7 al 13 de febrero este debilitamiento de los vientos alisios persistió, favorecido por un APS con el núcleo al suroeste de su posición climática (centrado en 45°S -105°W). Del 14 al 20 de febrero estos alisios se recuperaron, propiciados por un APS fortalecido con valores de 1026 – 1028 hPa y situado en su posición climática (ver **Figuras 5 y 6**). No obstante, desde finales de enero hasta lo que va de febrero de 2025, han predominado las anomalías de vientos del oeste, favorecidas por la llegada de la fase divergente de la MJO. Este pudo haber contribuido a una posible inversión de los alisios costeros y al incremento de la TSM (ver **Figura 1, 7 y 8**).

Respecto al pronóstico para los siguientes días, del 21 al 27 de febrero 2025 el APS se ubicará en la posición de 35°S – 85°W cercano de la costa pero reducido en extensión y con un núcleo de 1018 hPa, debilitado respecto a sus valores climáticos, lo que propiciaría el debilitamiento de alisios costeros y el incremento de la TSM en la costa peruana (ver **Figuras 5, 6 y 7**). Finalmente, entre el 28 de febrero al 6 de marzo 2025 se espera que el APS persista con una configuración muy zonal extendiéndose desde los 80°W hasta los 150°W, por lo que la magnitud de los vientos alisios se recuperaría pero persistiría por debajo de sus valores normales (ver **Figura 5, 6 y 7**).

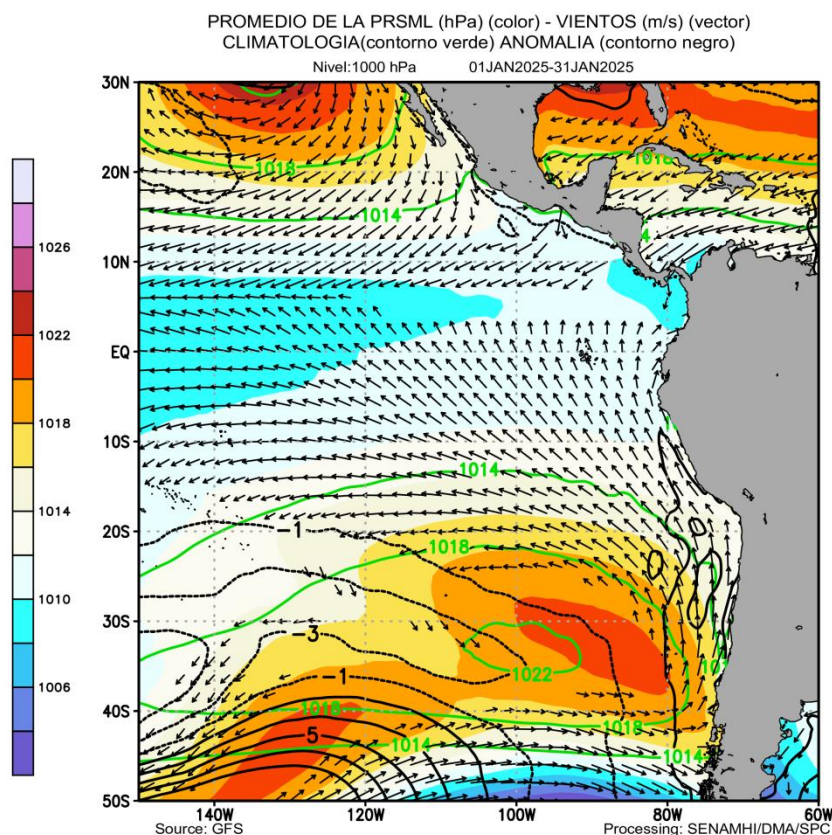


Figura 4. Promedio de la presión atmosférica a nivel del mar (sombreado) durante enero de 2025, anomalía de la presión atmosférica (líneas negras) y valor climatológico (líneas verdes). Viento en 1000 hPa superiores a los 2 m/s (vectores). Fuente: GFS. Procesamiento: SPC-SENAMHI



PERÚ

Ministerio del Ambiente

Servicio Nacional de Meteorología e Hidrología del Perú - SENAMHI

SUBDIRECCION DE PREDICCIÓN CLIMÁTICA



"Decenio de la Igualdad de Oportunidades para Mujeres y Hombres"
"Año de la recuperación y consolidación de la economía peruana"

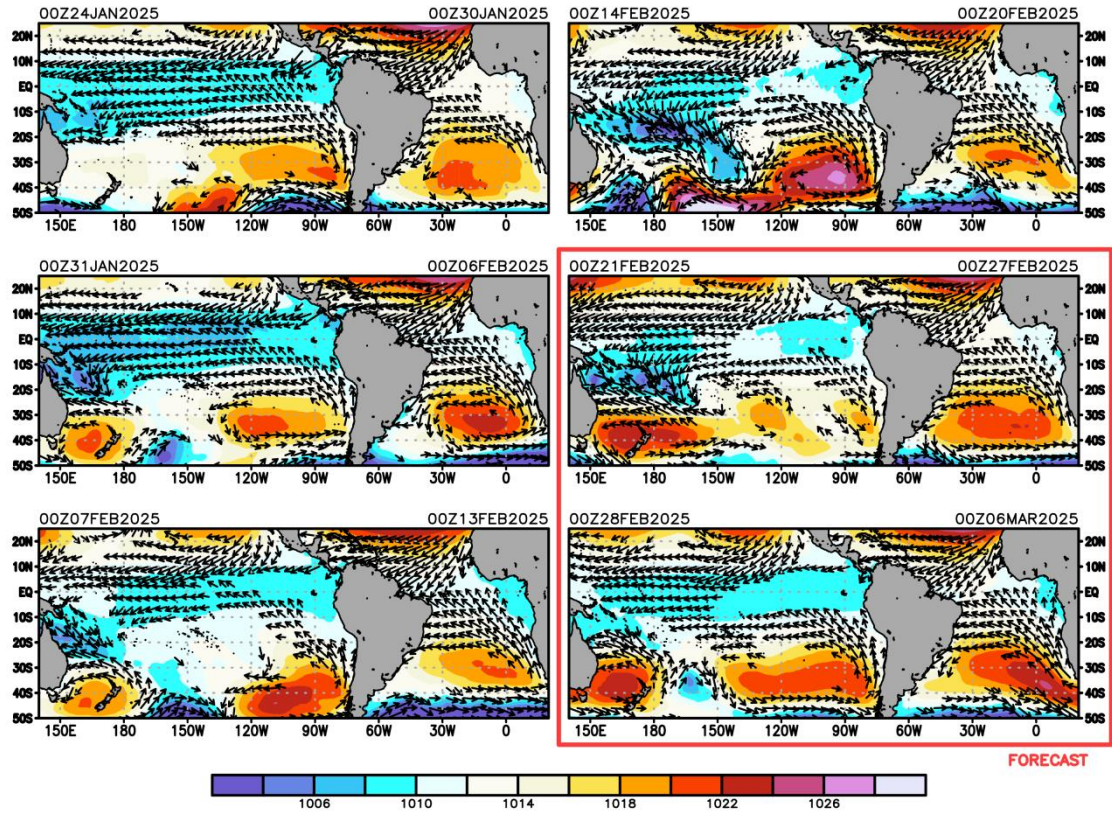


Figura 5. Promedio semanal de la presión atmosférica reducida a nivel del mar (colores) y vientos (flechas). Análisis: 24 de enero 2025 al 20 de febrero de 2025. Pronóstico: del 21 de febrero 2025 al 6 de marzo de 2025. Fuente: GFS. Procesamiento: SPC - SENAMHI.

"Decenio de la Igualdad de Oportunidades para Mujeres y Hombres"
"Año de la recuperación y consolidación de la economía peruana"

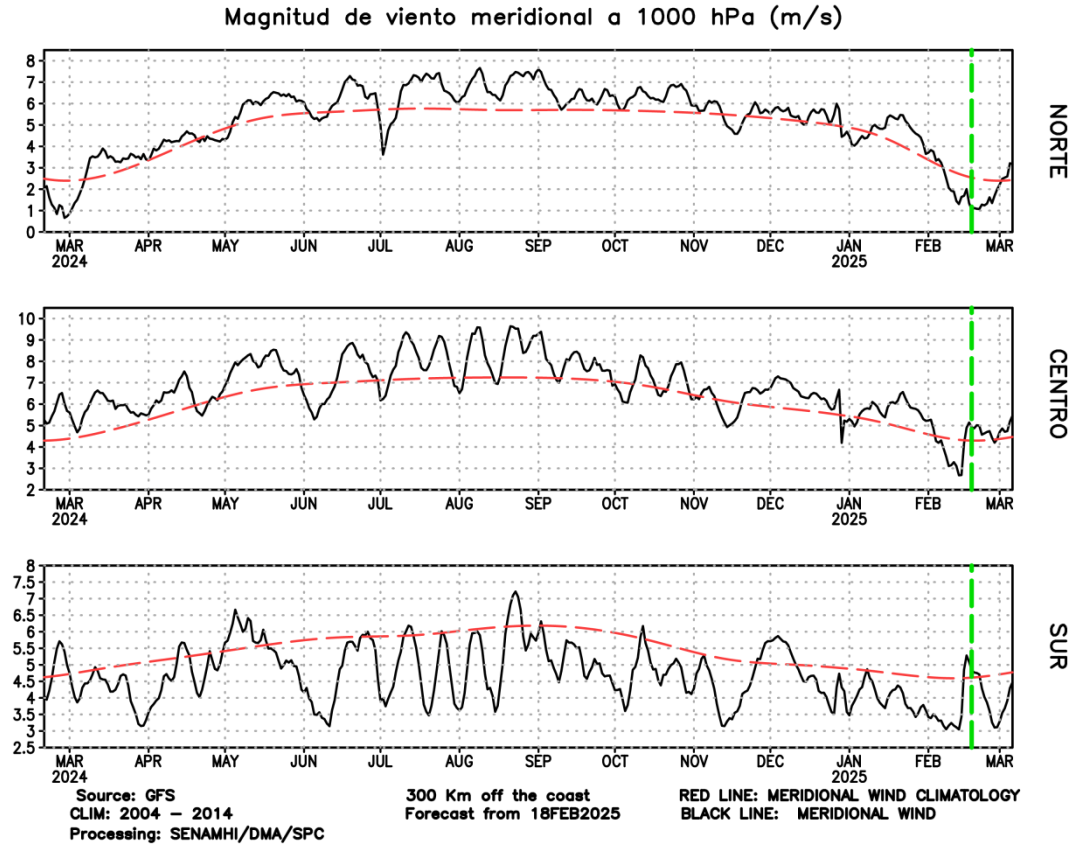


Figura 6. Magnitud de viento meridional a 1000 hPa y climatología. Análisis: 01 de febrero del 2024 al 17 de febrero del 2025. Pronóstico: 18 de febrero del 2025 al 06 de marzo de 2025. Magnitud del viento (línea negra continua) y Climatología (línea roja discontinua). Fuente GFS: Procesamiento: SPC-SENAMHI

"Decenio de la Igualdad de Oportunidades para Mujeres y Hombres"
"Año de la recuperación y consolidación de la economía peruana"

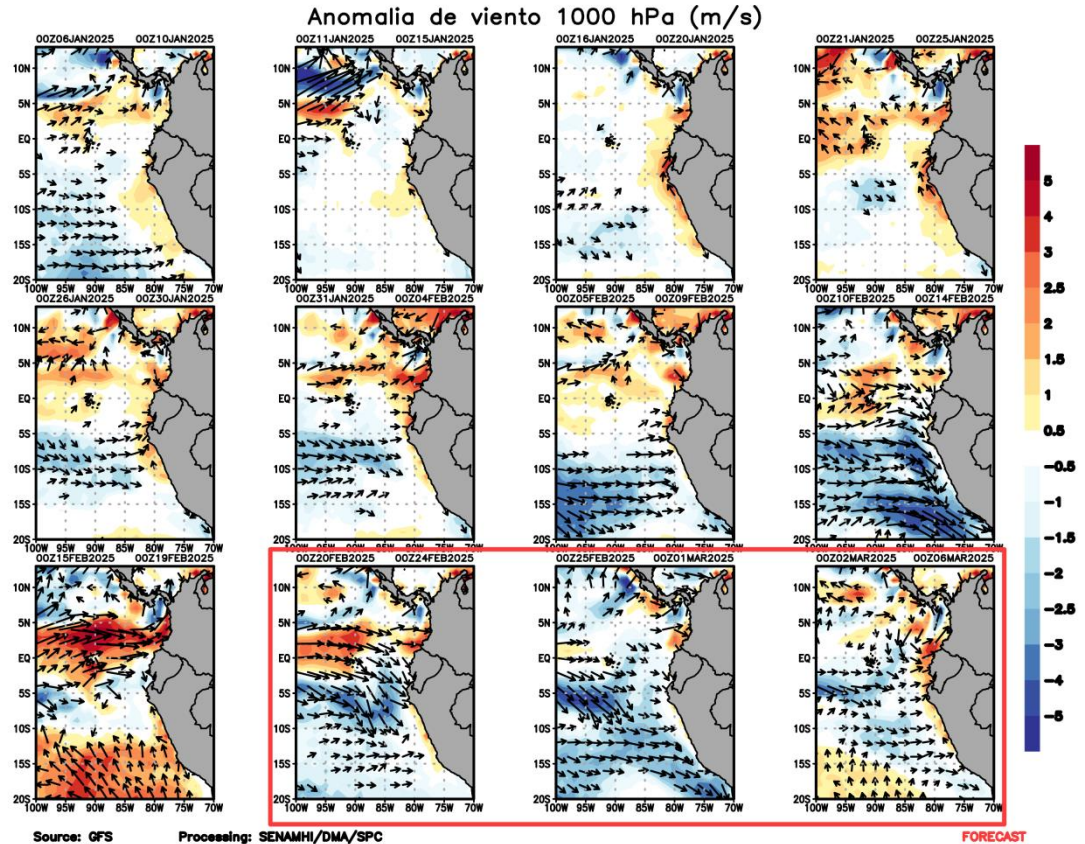


Figura 7. Anomalías de viento total (m/s) a 1000 hPa. Análisis: 06 de enero del 2025 al 19 de febrero del 2025. Pronóstico: 20 de febrero del 2025 al 06 de marzo de 2025. Magnitud de la anomalía (sombreado) y Dirección (vectores). Fuente GFS; Procesamiento: SPC-SENAMHI

5. VARIABILIDAD INTRAESTACIONAL Y PERSPECTIVAS SUBESTACIONALES

En la alta tropósfera (200 hPa) de la región ecuatorial 5°N – 5°S, desde inicios a fines de enero 2025, se propagó la fase convergente (anomalías de velocidad potencial positivas) desde el Índico, Oceanía y el Pacífico Central hacia la región ecuatorial de Sudamérica y la zona norte del Perú, lo que podría haber favorecido una mayor subsidencia y condiciones desfavorables para lluvias. Por ende, se tuvo una mayor predominancia de anomalías negativas de precipitación en la costa norte del Perú (ver **Figura 8 y 15 izq.**). En lo que va de febrero 2025, se tuvo un cambio de patrón hacia una fase divergente (producto de la propagación desde el Océano Índico), propiciando superávits de lluvias en la sierra norte del Perú, sin embargo, la costa norte persistió con condiciones deficitarias (ver **Figura 8 y 15 der.**). Desde la línea de pronóstico (18 de febrero 2025), se espera una fase divergente desde el Pacífico Central hacia El Pacífico Oriental, mientras que en la región ecuatorial de Sudamérica una fase ligeramente convergente, lo que potencialmente favorecería la subsidencia en la región norte del Perú, sin embargo, el reciente calentamiento de la TSM y las condiciones atmosféricas en niveles bajos y de superficie favorecerían un calentamiento que podría actuar como gatillador para propiciar lluvias en la región (ver **Figura 5, 7 y 8**).



"Decenio de la Igualdad de Oportunidades para Mujeres y Hombres"
"Año de la recuperación y consolidación de la economía peruana"

En niveles cercanos a la superficie (1000hPa) y dentro de la franja ecuatorial (5°S-5°N), durante el mes de enero se observaron patrones de anomalías de vientos del este, principalmente en el Pacífico Central y parte del Occidental (120°E - 120°W), que podrían haber favorecido la persistencia de anomalías de TSM negativas en la región Niño 3.4 y alcanzado el umbral de -0.5°C describiendo condiciones La Niña, (ver Figura 9). A inicios de febrero 2025 continuaron presentándose anomalías de vientos del este, con una menor área y magnitud (150°E – 180°W) que propiciaron incrementos de las anomalías de TSM en la región Niño 3.4, por lo que, los valores de TSM actualmente se sitúan por encima de -0.5°C en una condición neutral. Desde la línea de pronóstico se espera que las anomalías de vientos del este se confinen en el Pacífico Occidental y persistan con una menor magnitud, por lo que se espera que se mantengan las condiciones neutras en la región Niño 3.4. Por otro lado, en el Pacífico Oriental Ecuatorial se desarrollarán anomalías de vientos del oeste muy intensas que podrían favorecer el calentamiento persistente que se está dando en la región Niño 1+2 y la ocurrencia de lluvias en la costa norte para fines de febrero e inicios de marzo (ver **Figura 9**).

En niveles altos de la tropósfera (200 hPa), durante gran parte de enero, en los 5°N – 5°S - 60°W – 90°W, asociado a la región norte del Perú se tuvo una predominancia de anomalías negativas (ver **Figura 10**). Esto evidenció un fortalecimiento en los patrones de vientos del este lo que propició superávits de lluvias, principalmente en la sierra norte del Perú (ver **Figura 10, y 15 izq.**) En lo que va de febrero, en los 5°N – 5°S - 60°W – 90°W, estas cambiaron de patrón hacia anomalías de vientos del oeste (positivas), con una mayor intensidad (ver **Figura 10**) contribuyendo al debilitamiento de vientos del este y advección de humedad en niveles altos, sin embargo, persistieron las condiciones de superávits de lluvias en la sierra norte debido al aporte de humedad y dinámica de los niveles inferiores (ver **Figura 3, 10, y 15 der.**). Desde la línea de pronóstico, se tendrá un patrón de anomalías de vientos del oeste pero debilitadas, por lo que se espera que los vientos del este se presenten ligeramente debilitados (ver **Figura 10**).

"Decenio de la Igualdad de Oportunidades para Mujeres y Hombres"
"Año de la recuperación y consolidación de la economía peruana"

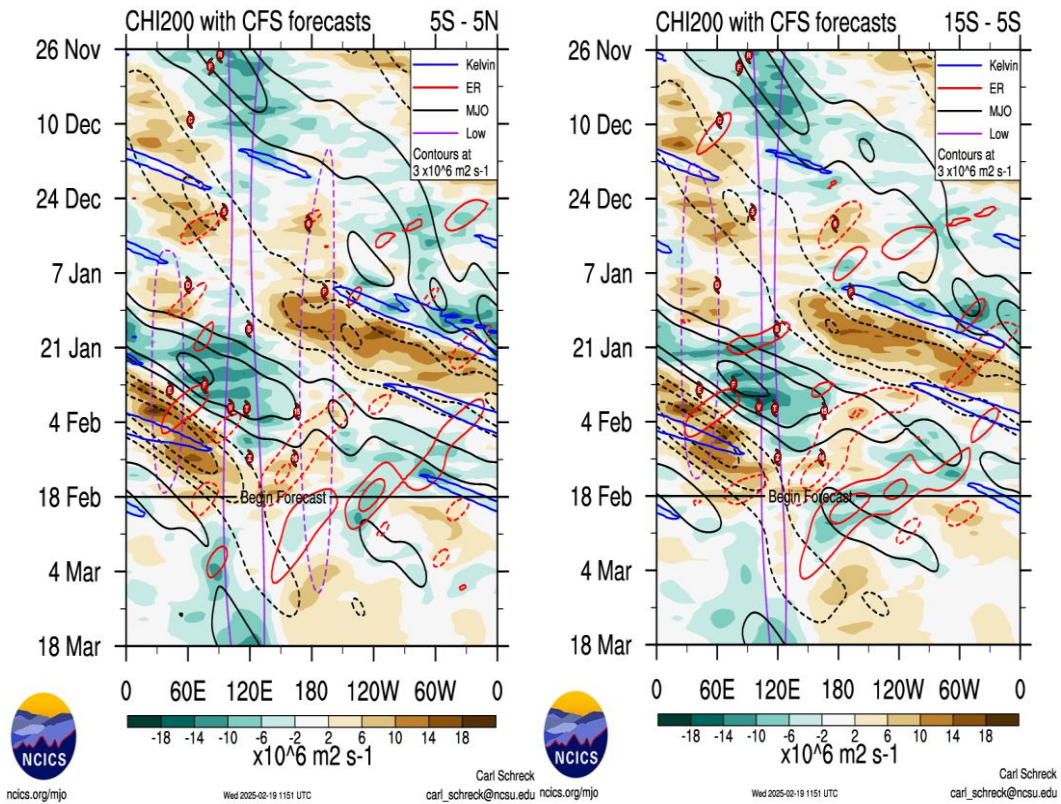


Figura 8. Anomalía de la velocidad potencial en 200 hPa entre los 5°N y 5°S a lo largo de la línea ecuatorial (izq.) y entre los 5°S a los 15°S (der.). Anomalías positivas (marrón), anomalías negativas (verdes). Resolución espacial 1° (110Km). La línea negra indica la fecha en que inicia el pronóstico de acuerdo al modelo CFS (Fuente: NCICS-NOAA).

"Decenio de la Igualdad de Oportunidades para Mujeres y Hombres"
"Año de la recuperación y consolidación de la economía peruana"

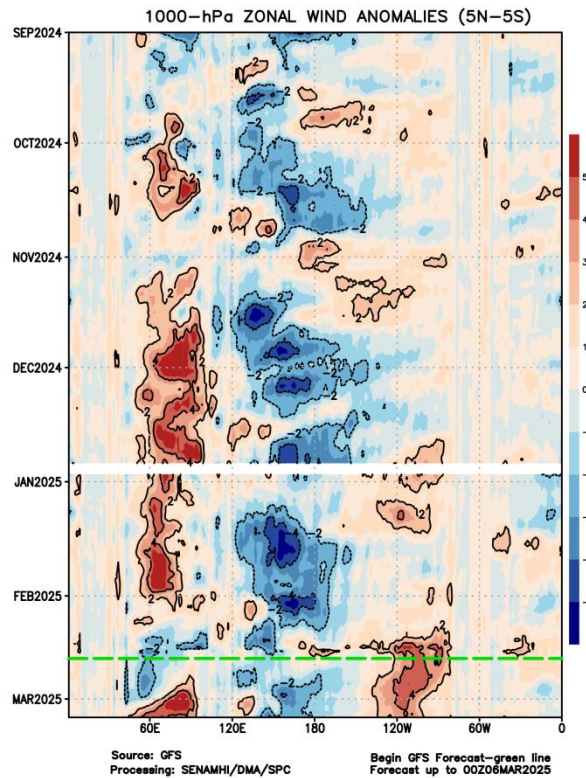


Figura 9. Anomalía del viento zonal en 1000 hPa entre los 5°N y 5°S a lo largo de la línea ecuatorial. Anomalías positivas (rojo), anomalías negativas (azul). Resolución espacial 1° (110Km). La línea verde indica la fecha en que inicia el pronóstico de acuerdo al modelo GFS (Procesamiento: SPC-SENAMHI).

"Decenio de la Igualdad de Oportunidades para Mujeres y Hombres"
"Año de la recuperación y consolidación de la economía peruana"

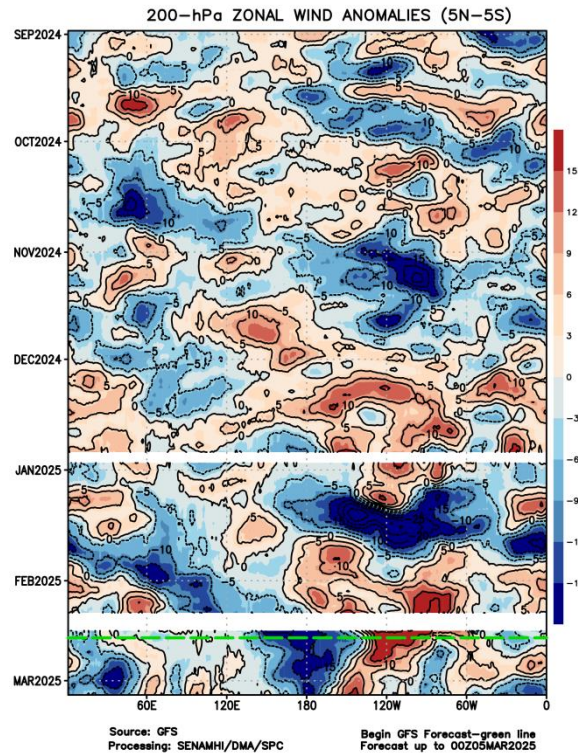


Figura 10. Anomalía del viento zonal en 200 hPa entre los 5°N y 5°S a lo largo de la línea ecuatorial. Anomalías positivas (rojo), anomalías negativas (azul). Resolución espacial 1° (110Km). La línea verde indica la fecha en que inicia el pronóstico de acuerdo al modelo GFS (Procesamiento: SPC-SENAMHI).

6. CONDICIONES ATMOSFÉRICAS REGIONALES

En promedio para la franja de los 300 Km por fuera de la costa, en el mes de enero, se observaron presiones atmosféricas por encima de lo normal a lo largo de la costa, lo que propició vientos costeros fortalecidos debido a la configuración del APS en el mes de enero (ver **Figura 4, 11 y 12**). En el mes de febrero se presentaron debilitamientos de presión importantes también asociados al APS y la divergencia en altura propiciados por el paso de la MJO lo que favoreció incrementos de la TSM (ver **Figura 1, 5, 11 y 12**).

Respecto al agua precipitable, entre el 11 al 25 de enero, se reportaron valores de anomalías de agua precipitable de entre -10 mm hasta -20 mm principalmente en la selva norte y central de Perú, que podrían haber favorecido déficits de precipitación reflejadas en las anomalías de lluvias (ver **Figura 13 y 15 izq.**). Posteriormente del 26 de enero al 19 de febrero estas anomalías de agua precipitable se recuperaron con una mayor intensidad en la costa sur y sierra sur occidental, lo que favoreció superávits de lluvias que presentaron anomalías de entre +200% hasta +800% en las regiones mencionadas (ver **Figura 13 y 15 der.**). Desde el pronóstico, se espera una persistencia en los valores de anomalías de agua precipitable que registran valores ligeramente por encima de sus valores climáticos a nivel nacional (+2 a +5 mm aproximadamente), lo que podría favorecer lluvias si se dan las condiciones atmosféricas propicias (ver **Figura 13**).

"Decenio de la Igualdad de Oportunidades para Mujeres y Hombres"
"Año de la recuperación y consolidación de la economía peruana"

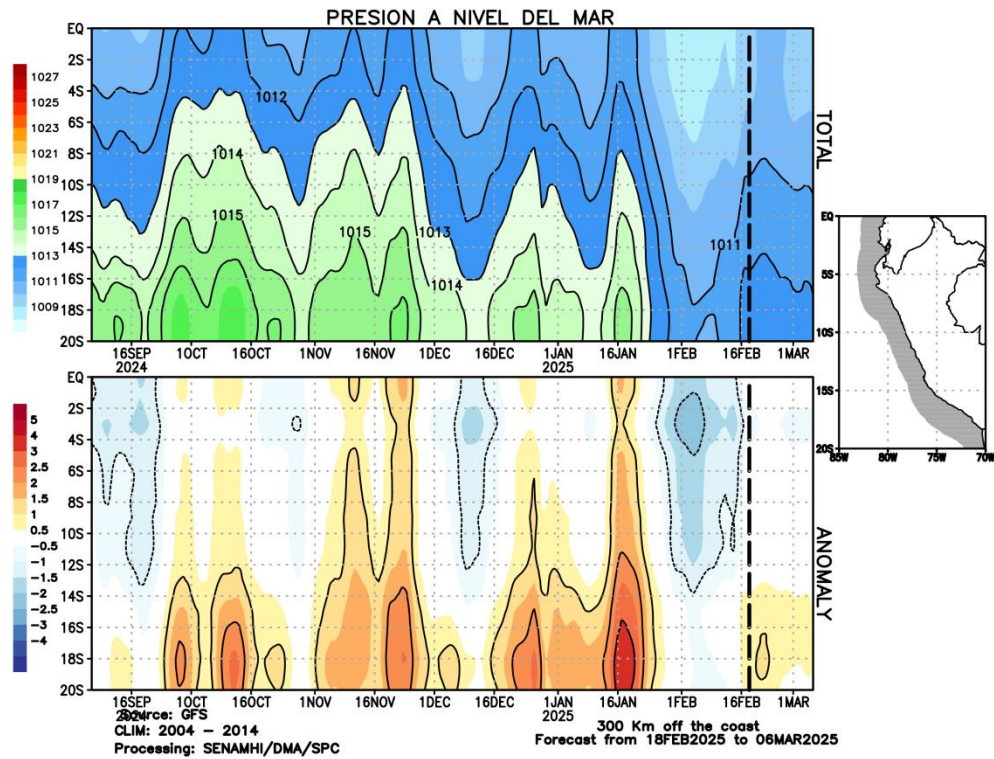


Figura 11. Promedio de la presión atmosférica (panel superior) y anomalía de la presión atmosférica (panel inferior) (hPa) en los 300 Km por fuera de la costa. Resolución espacial 1° (110Km). La línea negra indica el inicio del pronóstico. Fuente: GFS. Procesamiento: SPC-SENAMHI.

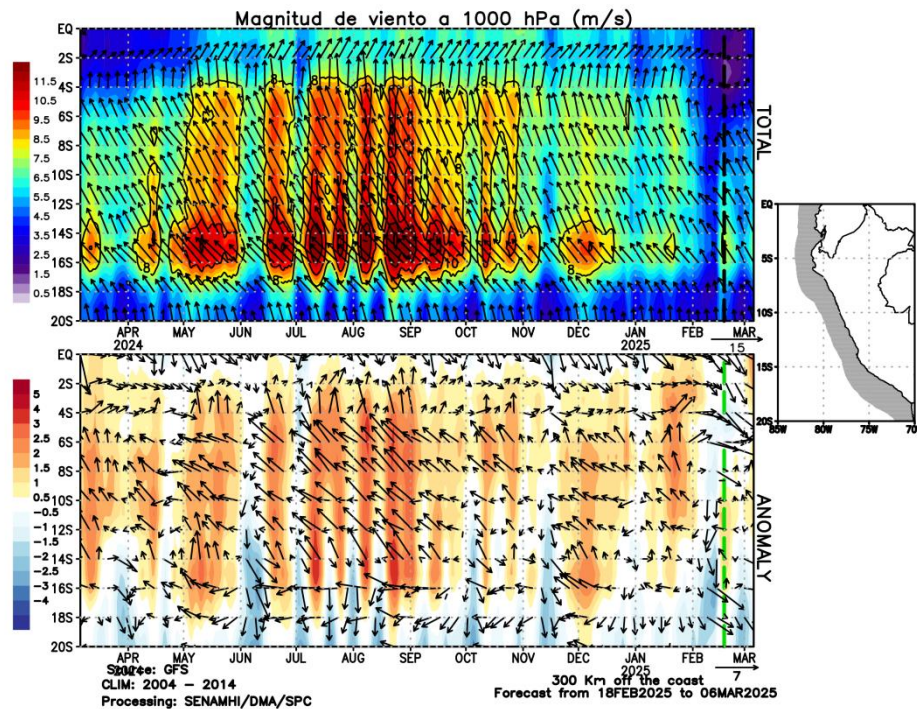


Figura 12. Promedio del viento (panel superior) y anomalía del viento (panel inferior) (m/s) a 1000 hPa en los 300 Km por fuera de la costa. Resolución espacial 1° (110Km). La línea verde

"Decenio de la Igualdad de Oportunidades para Mujeres y Hombres"
"Año de la recuperación y consolidación de la economía peruana"

indica el inicio del pronóstico. Fuente: GFS. Procesamiento: SPC-SENAMHI.

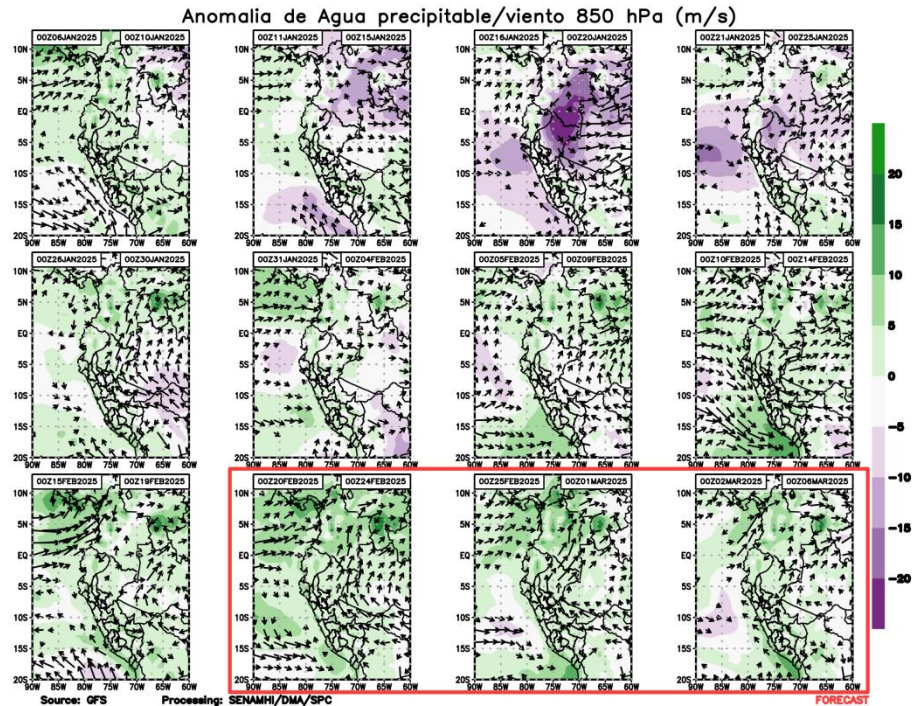


Figura 13. Anomalia del agua precipitable ($\text{Kg}\cdot\text{m}^2$) (sombreado) para Perú. Análisis del 6 de enero 2025 al 19 de febrero 2025. Pronóstico del 20 de febrero 2025 al 6 de marzo 2025. La línea roja indica el inicio del pronóstico. Fuente: GFS. Procesamiento: SPC-SENAMHI.

7. MONITOREO TERMOPLUVIOMÉTRICO

Durante el mes de enero de 2025, predominaron las anomalías positivas de temperatura máxima, principalmente en la costa norte y la costa central. Las anomalías más positivas en la temperatura máxima se registraron en la costa norte en la estación Jayanca (La Viña) llegando a valores de anomalías de hasta $+3.0^\circ\text{C}$ (2da década de enero) y Campo de Marte (anomalía de hasta $+2^\circ\text{C}$), mientras que, en la temperatura mínima la estación de Fonagro (Chincha) reportó la menor anomalía con un valor menor a -2°C en la 3ra década de enero. Finalmente, a inicios de febrero se presentó un incremento generalizado de las anomalías de temperaturas máximas y mínimas, principalmente debido al incremento de la TSM costera y se espera que persistan hasta fines de febrero e inicios de marzo (ver **Figura 1 y 14**).

"Decenio de la Igualdad de Oportunidades para Mujeres y Hombres"
"Año de la recuperación y consolidación de la economía peruana"

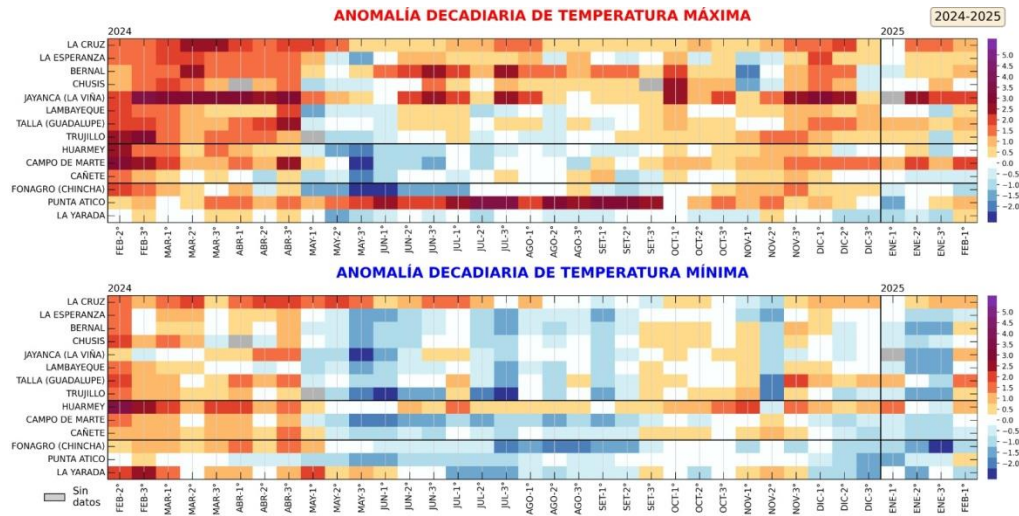
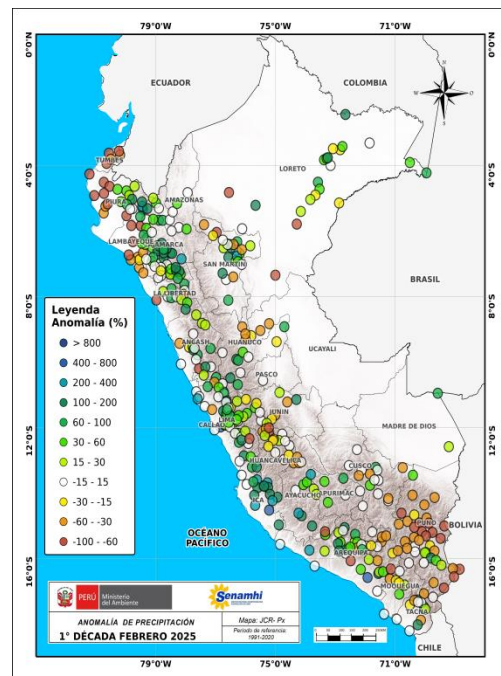
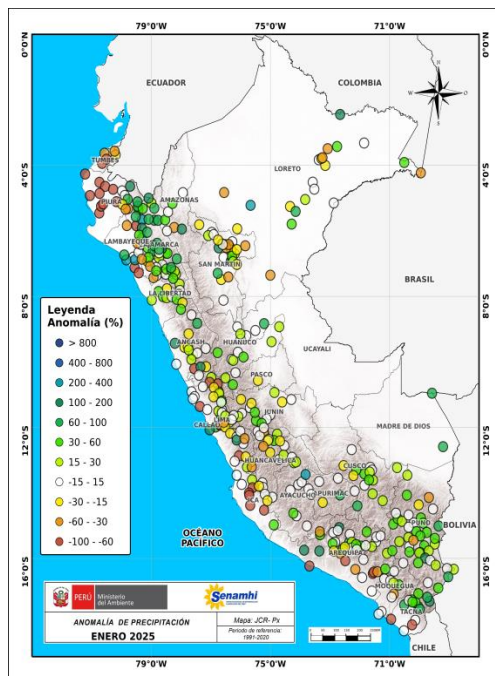


Figura 14. Anomalía de las temperaturas del aire máxima (a) y mínima (b) en las estaciones costeras del SENAMHI de la 1ra década de febrero 2024 a la 1ra década de febrero 2025. Fuente y procesamiento: SENAMHI.

Durante enero 2025, se registraron superávits de lluvias principalmente en la sierra norte y sierra suroriental del Perú, con valores de entre +30% a +200%. Por el contrario, en la costa norte y parte de la sierra central occidental predominaron condiciones deficitarias de hasta -100% (ver **Figura 15 izq.**). En la 1ra década de febrero se presentaron superávits principalmente en la sierra norte, la sierra central y la costa y sierra sur occidental, donde en esta última región se tuvieron anomalías de lluvias de hasta +800%. Estas condiciones de superávits de lluvias podrían haber sido favorecidas por la predominancia de anomalías de vientos del oeste en niveles bajos, el debilitamiento del APS (que favorecieron el calentamiento de la TSM en la costa sur) y también la fase divergente de la MJO para estas fechas (ver **Figuras 1, 5, 7, 8 y 15**).





PERÚ

Ministerio
del Ambiente

Servicio Nacional de
Meteorología e Hidrología
del Perú - SENAMHI

SUBDIRECCION DE
PREDICCIÓN CLIMÁTICA



"Decenio de la Igualdad de Oportunidades para Mujeres y Hombres"
"Año de la recuperación y consolidación de la economía peruana"

Figura 15. Anomalía de precipitación (%) en enero 2025 (izquierda) y del 1 al 10 de febrero 2025 (derecha). Climatología 1991-2020. Fuente y Procesamiento: SENAMHI.

Análisis y redacción:

Javier Chiong, Grinia Ávalos, Dora Marín, Félix Cubas, Nelson Quispe.

Próxima actualización: 18 de marzo de 2025

Se invita a acceder a los siguientes sitios del portal institucional:

Avisos Meteorológicos

<https://www.senamhi.gob.pe/?p=aviso-meteorologico>

Pronósticos climáticos de lluvias, temperaturas máximas y mínima del aire

<https://www.senamhi.gob.pe/?p=pronostico-climatico>

Comunicados ENFEN sobre las condiciones EL NIÑO/LA NIÑA

<https://www.senamhi.gob.pe/?p=fenomeno%2Del%2Dnino>

Boletines informativos

<https://www.senamhi.gob.pe/?p=boletines>

Boletines de sequías

<https://www.senamhi.gob.pe/?p=sequias>

© 2024 SENAMHI-PERÚ Jr. Cahuide 758 Jesús María – Lima; Teléfono: 6-141414 clima@senamhi.gob.pe,
pronosticador@senamhi.gob.pe | www.senamhi.gob.pe

Pronóstico del Tiempo: 51 1 - 6141407 anexo 447

Predicción Climática: 51 1 - 6141414 anexo 475

Lima – Perú